

1/7

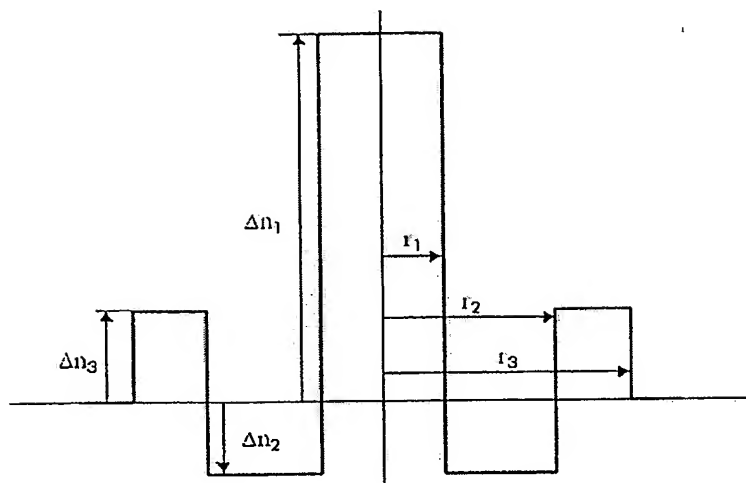


Figure 1

	$r_1$ ( $\mu\text{m}$ )	$r_2$ ( $\mu\text{m}$ )	$r_3$ ( $\mu\text{m}$ )	$\Delta n_1$ ( $\times 10^3$ )	$\Delta n_2$ ( $\times 10^3$ )	$\Delta n_3$ ( $\times 10^3$ )
1a	1,70	5,80	7,20	17,9	-3,0	3,1
2a	1,85	5,80	7,20	14,5	-1,6	5,0
3a	1,80	7,65	9,10	16,0	-2,0	5,0
4a	1,55	8,50	9,35	18,8	-1,7	2,1
5a	1,35	5,40	7,90	21,0	-0,4	3,8
6a	1,35	5,45	7,95	20,9	-0,4	2,5
7a	1,45	3,95	7,00	22,0	-5,0	3,8
8a	1,20	6,45	8,40	24,8	-0,4	3,9
9a	1,30	5,25	7,20	23,0	-1,7	4,9
10a	1,35	4,25	7,90	21,0	-0,4	1,0

Figure 2

	$C'$ [ps/(nm <sup>2</sup> ,km)] @1550 nm	$C/C'$ [nm] @1550 nm	$2W_{02}$ [ $\mu\text{m}$ ] @1550 nm	$\lambda_{\text{th}}$ (nm)
1a	-0,0293	922	5,17	1254
2a	0,0054	-4609	6,14	1578
3a	-0,0109	1804	5,54	1762
4a	0,0219	-1254	5,26	866
5a	0,0610	-967	5,89	1741
6a	0,0413	-1237	5,72	1598
7a	-0,0259	3824	5,28	1608
8a	0,0006	-109907	5,26	1728
9a	-0,0150	5274	5,39	1645
10a	0,0566	-811	5,64	1388

Figure 3

2/7

	$S_{eff}$ [ $\mu\text{m}^2$ ] @1460 nm	$S_{eff}$ [ $\mu\text{m}^2$ ] @1550 nm	$S_{eff}$ [ $\mu\text{m}^2$ ] @1625 nm	$S_{eff}$ [ $\mu\text{m}^2$ ] @1675 nm
1a	17	20	23	26
2a	24	29	34	39
3a	20	23	26	29
4a	18	21	24	26
5a	20	27	36	44
6a	19	25	32	38
7a	16	23	33	44
8a	16	21	27	33
9a	17	23	31	40
10a	19	24	30	35

Figure 4

	C [ps/(nm,km)] @1460 nm	C [ps/(nm,km)] @1550 nm	C [ps/(nm,km)] @1625 nm	C [ps/(nm,km)] @1675 nm
1a	-25	-27	-30	-32
2a	-25	-25	-24	-22
3a	-20	-20	-21	-23
4a	-30	-27	-26	-26
5a	-61	-59	-52	-43
6a	-53	-51	-47	-42
7a	-88	-99	-92	-78
8a	-65	-66	-65	-61
9a	-74	-79	-76	-68
10a	-50	-46	-41	-36

Figure 5

	PC10mm [dB/m] @1550 nm	PC10mm [dB/m] @1625 nm	PC10mm [dB/m] @1675 nm	PC30mm [dB/m] @1550 nm	PC30mm [dB/m] @1625 nm	PC30mm [dB/m] @1675 nm
1a	< 3	< 5	< 25	< $10^{-9}$	< $10^{-8}$	< $10^{-5}$
2a	< 3	< 10	< 50	< $10^{-9}$	< $10^{-6}$	< $10^{-4}$
3a	< 3	< 5	< 50	< $10^{-9}$	< $10^{-7}$	< $10^{-4}$
4a	< 3	< 5	< 25	< $10^{-9}$	< $10^{-6}$	< $10^{-4}$
5a	< 3	< 10	< 25	< $10^{-9}$	< $10^{-7}$	< $10^{-5}$
6a	< 3	< 5	< 50	< $10^{-9}$	< $10^{-7}$	< $10^{-4}$
7a	< 3	< 40	< 150	< $10^{-9}$	< $10^{-5}$	< $10^{-3}$
8a	< 3	< 5	< 50	< $10^{-9}$	< $10^{-7}$	< $10^{-5}$
9a	< 3	< 20	< 100	< $10^{-9}$	< $10^{-5}$	< $10^{-3}$
10a	< 3	< 5	< 25	< $10^{-9}$	< $10^{-7}$	< $10^{-5}$

Figure 6

3/7

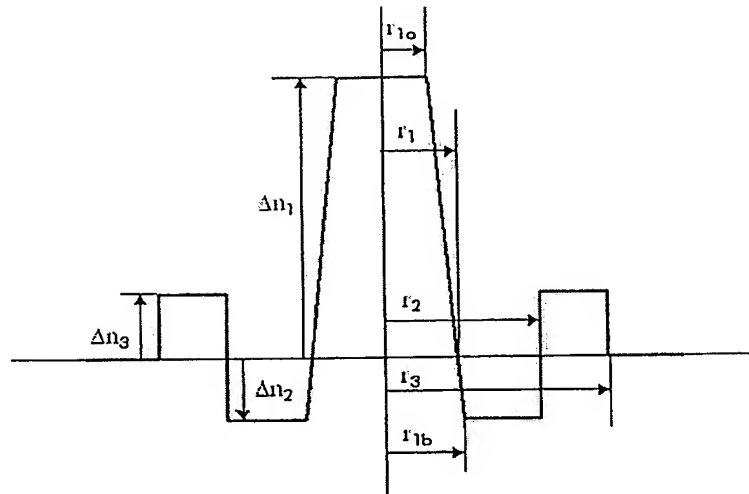


Figure 7

	$r_{10}$ ( $\mu\text{m}$ )	$r_1$ ( $\mu\text{m}$ )	$r_{1b}$ ( $\mu\text{m}$ )	$r_2$ ( $\mu\text{m}$ )	$r_3$ ( $\mu\text{m}$ )	$\Delta n_1$ ( $\times 10^3$ )	$\Delta n_2$ ( $\times 10^3$ )	$\Delta n_3$ ( $\times 10^3$ )
1b	1,40	1,85	1,90	8,50	9,15	17,9	-1,0	6,0
2b	1,35	1,85	1,90	7,15	9,20	16,9	-1,0	1,7
3b	1,40	1,85	1,90	6,95	7,90	17,5	-1,3	6,0
4b	1,35	1,50	1,50	5,85	8,00	20,4	-1,2	1,0
5b	1,20	1,40	1,45	5,60	6,90	22,2	-0,6	7,0
6b	1,20	1,30	1,35	6,50	7,90	23,4	-0,7	6,5
7b	1,15	1,65	1,70	5,95	7,10	21,0	-0,9	8,0
8b	1,20	1,30	1,35	5,90	7,05	24,0	-0,9	8,0
9b	1,15	1,65	1,70	6,20	7,35	21,2	-0,7	7,3
10b	1,20	1,60	1,70	3,70	7,75	22,3	-4,9	2,2

Figure 8

	$C'$ [ps/(nm <sup>2</sup> ,km)] @1550 nm	$C/C'$ [nm] @1550 nm	$2W_{02}$ [ $\mu\text{m}$ ] @1550 nm	$\lambda_{\text{cth}}$ (nm)
1b	0,0232	-924	5,50	1565
2b	0,0167	-1455	5,75	1478
3b	-0,0029	9650	5,61	1631
4b	0,0097	-4109	5,30	1119
5b	0,0805	-807	5,80	1650
6b	-0,0200	3389	5,41	1735
7b	-0,0049	10086	5,46	1711
8b	0,0054	-13322	5,36	1683
9b	-0,0052	8872	5,40	1727
10b	-0,0863	972	5,12	1599

Figure 9

4/7

	$S_{\text{off}}$ [ $\mu\text{m}^2$ ] @1460 nm	$S_{\text{off}}$ [ $\mu\text{m}^2$ ] @1550 nm	$S_{\text{off}}$ [ $\mu\text{m}^2$ ] @1625 nm	$S_{\text{off}}$ [ $\mu\text{m}^2$ ] @1675 nm
1b	19	22	26	29
2b	21	25	29	32
3b	20	23	28	31
4b	17	21	25	29
5b	20	27	36	44
6b	17	23	30	37
7b	18	23	28	33
8b	17	22	30	36
9b	18	22	27	32
10b	16	21	28	35

Figure 10

	C [ps/(nm,km)] @1460 nm	C [ps/(nm,km)] @1550 nm	C [ps/(nm,km)] @1625 nm	C [ps/(nm,km)] @1675 nm
1b	-24	-21	-20	-19
2b	-26	-24	-23	-22
3b	-28	-28	-28	-28
4b	-41	-40	-39	-38
5b	-68	-65	-56	-46
6b	-65	-68	-67	-62
7b	-48	-49	-48	-45
8b	-70	-72	-68	-62
9b	-45	-46	-46	-44
10b	-73	-84	-86	-80

Figure 11

	PC10mm [dB/m] @1550 nm	PC10mm [dB/m] @1625 nm	PC10mm [dB/m] @1675 nm	PC30mm [dB/m] @1550 nm	PC30mm [dB/m] @1625 nm	PC30mm [dB/m] @1675 nm
1b	< 3	< 10	< 50	< $10^{-9}$	< $10^{-7}$	< $10^{-5}$
2b	< 3	< 20	< 100	< $10^{-9}$	< $10^{-5}$	< $10^{-3}$
3b	< 3	< 5	< 25	< $10^{-9}$	< $10^{-8}$	< $10^{-5}$
4b	< 3	< 5	< 25	< $10^{-9}$	< $10^{-7}$	< $10^{-4}$
5b	< 3	< 5	< 25	< $10^{-9}$	< $10^{-8}$	< $10^{-5}$
6b	< 3	< 10	< 50	< $10^{-9}$	< $10^{-7}$	< $10^{-4}$
7b	< 3	< 5	< 10	< $10^{-9}$	< $10^{-9}$	< $10^{-8}$
8b	< 3	< 5	< 25	< $10^{-9}$	< $10^{-8}$	< $10^{-5}$
9b	< 3	< 5	< 10	< $10^{-9}$	< $10^{-9}$	< $10^{-8}$
10b	< 3	< 25	< 125	< $10^{-9}$	< $10^{-5}$	< $10^{-3}$

Figure 12

5/7

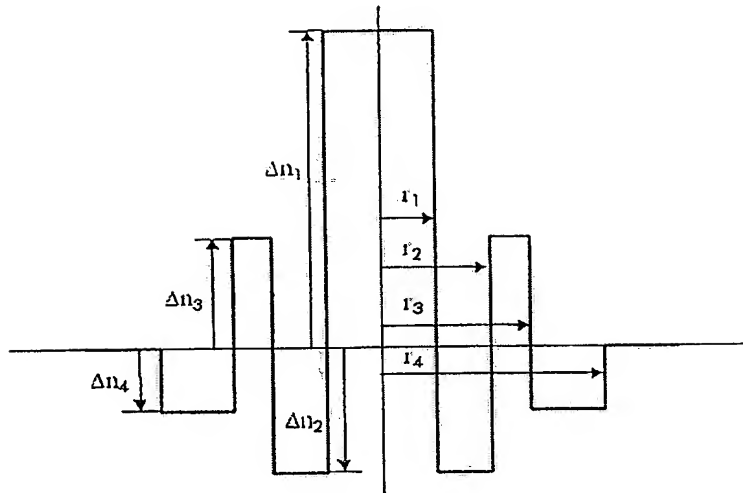


Figure 13

	$r_1$ ( $\mu\text{m}$ )	$r_2$ ( $\mu\text{m}$ )	$r_3$ ( $\mu\text{m}$ )	$r_4$ ( $\mu\text{m}$ )	$\Delta n_1$ ( $\times 10^3$ )	$\Delta n_2$ ( $\times 10^3$ )	$\Delta n_3$ ( $\times 10^3$ )	$\Delta n_4$ ( $\times 10^3$ )
1c	2,65	6,00	9,75	12,00	10,8	-3,7	5,0	-6,0
2c	1,60	3,55	4,10	7,00	19,8	-6,0	-0,1	3,7
3c	1,80	4,10	6,90	7,85	17,9	-1,4	2,9	0,8
4c	1,85	5,00	7,90	8,35	15,1	-1,8	3,0	5,0
5c	1,75	4,80	5,80	8,30	17,0	-1,6	0,5	2,0
6c	1,55	4,15	7,50	9,60	21,0	-6,0	4,7	-2,1
7c	2,05	4,30	8,90	10,20	14,4	-5,0	3,5	-4,2
8c	1,60	3,70	4,15	7,05	19,2	-3,8	2,9	3,8
9c	1,70	4,05	8,05	9,60	18,1	-6,0	4,0	-3,5
10c	1,70	4,50	10,00	11,25	17,0	-2,3	2,8	-4,0

Figure 14

	$C'$ [ps/(nm <sup>2</sup> ,km)] @1550 nm	$C/C'$ [nm] @1550 nm	$2W_{02}$ [ $\mu\text{m}$ ] @1550 nm	$\lambda_{\text{cch}}$ (nm)
1c	-0,0065	1522	6,71	1760
2c	-0,0065	12758	5,46	1607
3c	0,0217	-1167	5,60	1645
4c	0,0007	-49802	6,19	1761
5c	-0,0032	8366	5,59	1611
6c	-0,0858	1157	5,20	1606
7c	-0,0003	132667	6,13	1680
8c	0,0579	-1022	5,71	1665
9c	-0,0060	12589	5,60	1619
10c	-0,0076	6607	5,94	1760

Figure 15

6/7

	$S_{off}$ [ $\mu\text{m}^2$ ] @1460 nm	$S_{off}$ [ $\mu\text{m}^2$ ] @1550 nm	$S_{off}$ [ $\mu\text{m}^2$ ] @1625 nm	$S_{off}$ [ $\mu\text{m}^2$ ] @1675 nm
1c	30	36	43	48
2c	18	25	34	44
3c	20	24	28	31
4c	24	30	37	44
5c	20	23	27	31
6c	16	23	33	44
7c	24	30	39	47
8c	20	26	34	41
9c	19	26	37	47
10c	21	28	36	44

Figure 16

	C [ps/(nm,km)] @1460 nm	C [ps/(nm,km)] @1550 nm	C [ps/(nm,km)] @1625 nm	C [ps/(nm,km)] @1675 nm
1c	-9	-10	-10	-8
2c	-75	-83	-77	-66
3c	-27	-25	-23	-21
4c	-33	-35	-33	-30
5c	-27	-27	-27	-26
6c	-82	-99	-95	-81
7c	-37	-40	-37	-32
8c	-60	-59	-52	-43
9c	-67	-76	-69	-58
10c	-47	-50	-48	-42

Figure 17

	PC10mm [dB/m] @1550 nm	PC10mm [dB/m] @1625 nm	PC10mm [dB/m] @1675 nm	PC30mm [dB/m] @1550 nm	PC30mm [dB/m] @1625 nm	PC30mm [dB/m] @1675 nm
1c	< 3	< 5	< 10	< $10^{-9}$	< $10^{-8}$	< $10^{-6}$
2c	< 3	< 25	< 100	< $10^{-9}$	< $10^{-5}$	< $10^{-3}$
3c	< 3	< 5	< 10	< $10^{-9}$	< $10^{-9}$	< $10^{-9}$
4c	< 3	< 10	< 50	< $10^{-9}$	< $10^{-7}$	< $10^{-5}$
5c	< 3	< 5	< 10	< $10^{-9}$	< $10^{-9}$	< $10^{-8}$
6c	< 3	< 25	< 150	< $10^{-9}$	< $10^{-5}$	< $10^{-3}$
7c	< 3	< 10	< 50	< $10^{-9}$	< $10^{-7}$	< $10^{-5}$
8c	< 3	< 5	< 10	< $10^{-9}$	< $10^{-9}$	< $10^{-8}$
9c	< 3	< 20	< 100	< $10^{-9}$	< $10^{-6}$	< $10^{-4}$
10c	< 3	< 10	< 150	< $10^{-9}$	< $10^{-7}$	< $10^{-5}$

Figure 18

7/7

Figure 19

